

ОКОЛОПРЕДЕЛЬНЫЕ РЕЖИМЫ ГАЗОВОЙ ДЕТОНАЦИИ

A. A. Васильев

(Новосибирск)

Пределы детонации — общее название условий, при которых в химически активной среде возможно распространение детонационного режима. Общеизвестны пределы: концентрационные, устанавливающие граничные соотношения между горючим и окислителем; геометрические, связанные с понятием критического диаметра d_* , т. е. такого d_* заряда, при котором детонационная волна (ДВ) все еще способна распространяться в самоподдерживающемся режиме; температурные и т. д. (см., например, [1]).

Основной геометрической характеристикой многофронтовой газовой детонации с пульсирующим фронтом является размер ячейки — характерный ромбовидный отпечаток, оставляемый ДВ на закопченной поверхности. Для фиксированных состава смеси и диаметра детонационной трубы с понижением начального давления p_0 наблюдается укрупнение ячейки и переход от многофронтового режима к спиральному (в круглых трубах), характеризующемуся единственной поперечной волной (ПВ), аксиально вращающейся по периферии детонационной трубы [2, 3]. Траектория движения спиральной поперечной волны представляет собой спиральную линию. Время одного оборота $t = \pi d/D_\perp = \pi d/1,84c$, где d — диаметр трубы; D_\perp — аксиальная скорость поперечной волны; c — скорость звука в продуктах детонации; 1,84 — значение основного корня функции Бесселя 1-го рода. Продольный размер ячейки логично определить как $b = D_\parallel t = \pi d D_\parallel / 1,84c = \pi d$, так как $c/D_\parallel \approx 0,55$ [3], D_\parallel — продольная скорость детонации. Тогда поперечный размер ячейки $a = b \cdot D_\perp/D_\parallel \approx b$, и поскольку $a = b \cdot \tan \varphi$, то спиральная траектория спиральной ПВ имеет наклон к оси трубы $\sim 45^\circ$; шаг спирали служит аналогом b .

Таким образом, спиральная детонация реализуется при условии

$$a = \pi \cdot d_s. \quad (1)$$

Зная зависимость $a(p_0)$ для взрывчатой смеси, по (1) определяется диаметр круглой трубы d_s , в которой можно наблюдать предельный режим стационарного распространения детонации — спиральный. При дальнейшем понижении p_0 спиральная детонация срывается, и при определенных условиях возникает квазистационарный режим распространения волны с сильными продольными (вдоль оси) колебаниями газа, получивший название галоширующего [4—8].

В исследованиях наряду с круглыми трубами широко используются детонационные каналы прямоугольного сечения. С понижением p_0 происходит переход от многофронтовой детонации к режиму распространения с единственной поперечной волной (аналогично спиральной детонации в круглых трубах), которая периодически движется между боковыми стенками канала. Спиральный след ПВ на боковой поверхности круглой трубы, характерный для спиральной детонации, преобразуется в ромбовидный отпечаток, типичный для ячеистой структуры. Режим распространения детонации в прямоугольном канале с единственной ПВ получил в литературе название граничного (marginal), при этом ширина канала l связана с размером ячейки соотношением

$$l = l_m = a/2. \quad (2)$$

По зависимости $a(p_0)$ с помощью (2) определяется ширина прямоугольного канала l_m , в котором реализуется граничный режим. Отметим, что хотя такой режим в прямоугольном канале и является аналогом спиральному для круглой трубы, существует принципиальное различие между ними, связанное с характером движения поперечной волны: при спиральной детонации ПВ вращается по периферии с постоянной скоростью,

Смесь	d , мм	$\frac{p_0}{\text{мм рт. ст.}}$	\bar{D} , м/с	\bar{D}/D_0	Ссылка
$2\text{H}_2 + \text{O}_2$	5	180	2600	0,96	[9]
	16	45	2200	0,82	[2]
	40	27	2350	0,88	[10]
$\text{H}_2 + \text{воздух (ст.)}$	40	53	1690	0,89	[10]
$\text{C}_2\text{H}_2 + \text{воздух (ст.)}$	40	38	1580	0,88	[10]
$\text{CH}_4 + 2\text{O}_2$	5	220	2100	0,90	[9]
$2\text{H}_2 + \text{O}_2 + 3\text{Ar}$	$76,2 \times 6,3$	58	—	0,87	[14]
$(2\text{H}_2 + \text{O}_2) + 60\% \text{Ar}$	$76,2 \times 6,3$	80	—	—	[11]
$2\text{H}_2 + \text{O}_2 + 3\text{N}_2$	$38,4 \times 25,4$	59	—	—	[12]
$2\text{CO} + \text{O}_2$	$76,2 \times 38,4$	50	—	—	[13]
$2\text{H}_2 + \text{O}_2$	$76,2 \times 38,4$	25	—	—	[13]
$\text{C}_2\text{H}_2 + 2,5\text{O}_2$	$3 \times 0,5$	115	—	0,88	[16]

а при граничной скорости ПВ между соударениями с боковыми стенками канала переменна, что характерно для многофронтовой детонации.

Соотношение (2) позволяет определить лишь один из размеров прямоугольного канала — l_m . Влияет ли глубина канала δ на область существования граничного режима? Наблюдается ли в прямоугольных каналах режим, аналогичный галопирующему в круглых трубах? Каковы основные характеристики детонации вблизи пределов? Исследованию этих вопросов и посвящена данная работа.

В таблице представлены результаты известных из литературы исследований спирального и граничного режимов. Из большого количества работ отобраны лишь те, в которых содержится информация не только о структуре фронта, но и об условиях и характеристиках детонации: составе смеси, начальном давлении, геометрии канала и размерах, дефиците скорости и т. д. Как видно из таблицы, спиральная и граничная детонации имеют примерно одинаковый дефицит скорости $\Delta D/D_0 = 1 - \bar{D}/D_0$ (D — скорость распространения самоподдерживающейся детонации, D_0 — расчетная скорость Чепмена — Жуге), что указывает на примерное равенство предельного уровня потерь в круглой трубе и прямоугольном канале и одинаковом их воздействии на ДВ. Совпадение $\Delta D/D_0$ позволяет воспользоваться гидравлической аналогией, согласно которой роль диаметра круглой трубы для трубопроводов с сечением, отличным от круглого, играет гидравлический диаметр d^0 . Для прямоугольного канала с размерами $l \times \delta$

$$d^0 = 2l\delta/(l + \delta). \quad (3)$$

Считая, что предел распространения достигается при одинаковых $d^0 = d_s$, из (1) и (3) получаем

$$\frac{a}{\pi} = \frac{2l\delta}{l + \delta} = \frac{2l}{n + 1}. \quad (4)$$

Величина $l/\delta = n$ задается конструкцией канала. Из (4) условие граничной детонации определяется так:

$$l/a = (n + 1)/2\pi. \quad (5)$$

В (5) учитывается не только ширина канала, но и его глубина. Для $n=1$ (квадратный канал) $l=a/\pi$, т. е. предел описывается соотношением типа (1) для спиральной детонации. Из (5) получаем, что граничная детонация ($l_m = a/2$) реализуется при условии

$$n = \pi - 1, \text{ т. е. } l/\delta \approx 2. \quad (6)$$

При больших значениях l/δ ДВ с единственной поперечной волной не реализуется, предельным оказывается режим с большим числом попе-

речных волн. При $n = 5$ граничная ДВ содержит две ПВ, размер ячейки совпадает с шириной канала, при этом $\delta = 0,2a$. Отметим, что соотношение $l/\delta \approx 6$ экспериментально установлено в [3] в качестве оптимального для «плоских» каналов, когда трехмерная структура многофронтовой детонации превращается в двумерную.

Таким образом, в отличие от круглых труб, где на пределе стационарного распространения реализуется спиновая детонация с единственной поперечной волной, в прямоугольном канале предельный режим зависит от соотношения размеров канала: при $l/\delta \gg 2$ предельным может оказаться даже многофронтовый режим, а детонация с меньшим, чем по (5), числом ячеек на ширине канала будет нестационарной и должна затухнуть. Подтверждение этому можно найти в [11], где для канала сечением $76,3 \times 6,3$ мм на смеси $(2\text{H}_2 + \text{O}_2) + 60\% \text{Ar}$ обнаружена предельная ДВ с $l = a/2$ при $p_0 = 0,08$ атм, по средняя скорость распространения оказалась равной $(0,4 - 0,5)D_0$, а сама детонация оказалась затухающей. Квазистационарной, по мнению авторов, ДВ стала при $p_0 \geq 0,1$ атм, когда на ширине канала укладывается не менее трех тройных точек, чему соответствует $l > 1,5a$. Из (5) при $n = 12$ (условия [11]) граничная ДВ должна наблюдаться при $l/a \approx 2$. Одноголовый предельный режим обнаружен в [12] на смеси $2\text{H}_2 + \text{O}_2 + 3\text{N}_2$ ($p_0 = 59$ торр) в канале сечением $38,1 \times 25,4$ мм ($l/\delta = 1,5$) и в [13] на смесях $2\text{CO} + \text{O}_2$ в канале $76,2 \times 38,1$ мм ($l/\delta = 2$). Последние результаты полностью согласуются с (6). Близкие к предельным режимы распространения детонации в прямоугольных каналах исследовались в работах [14—17].

Экспериментальные исследования околокритической детонации выполнены в прямоугольных каналах с различными l и δ . Взрывная камера 3 (рис. 1) представляла собой систему соосных каналов прямоугольного сечения с $l/\delta = 6$, оптимальном для получения двумерной детонации [3]. Длина каналов $L = 300$ мм, $\delta = 5, 4, 3, 2, 1$ и $0,5$ мм, чистота обработки поверхности — класс 6. Общей стенкой для всех каналов служило оптическое стекло 1, через которое осуществлялась фотосъемка самосвещения процесса в каждом канале на движущуюся пленку барабанного фоторегистратора. При исследовании следовых отпечатков вдоль плоскости стекла устанавливалась закопченная фольга 2 по всей длине взрывной камеры. Кроме этой была изготовлена камера 2 с каналами $1,5 \times 0,5, 3 \times 0,5, 6 \times 0,5$ и 2×2 мм; $1 \leq l/\delta \leq 12$ (длина каналов 700 мм).

Эксперименты выполнены на смеси $\text{C}_2\text{H}_2 + 2,5\text{O}_2$, приготавливаемой обычно за сутки до экспериментов. Использовались газы из технических баллонов. Перед каждым опытом камера предварительно вакуумировалась до давления $< 10^{-3}$ атм. Инициирование осуществлялось высоковольтным разрядом ($CU^2/2 \approx 40$ Дж), давление контролировалось образцовым вакуумметром с ценой деления 0,004 атм, соотношение горючее — окислитель — по парциальным давлениям компонентов. Режимы распространения исследовались при изменении p_0 .

По мере понижения p_0 происходит переход от многофронтовой детонации к околопредельной, причем для каналов с $l/\delta = 6$ предельным оказывается режим с двумя ПВ (одна ячейка на канал) в полном соответствии с (5). Получить устойчивый режим распространения с одной ПВ не удается, ДВ либо срывается, либо появляются слабые ПВ с последующим переходом к многофронтовой нестационарной детонации. Такое поведение волны предъявляет повышенные требования к доказательству, что наблюдаемый режим — предельный не только с точки зрения структуры волны (единственная поперечная волна на фронте), но и его стационарности. Именно необходимость доказательства стационарности предельных режимов заставила провести дополнительные ис-

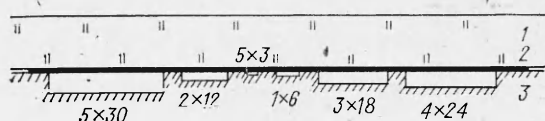


Рис. 1.

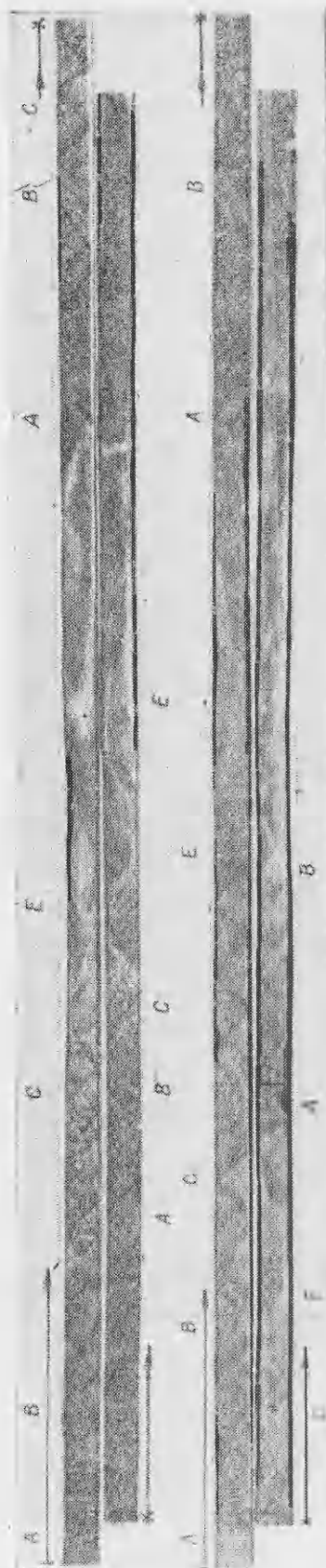


Рис. 2

следования на взрывной камере большей длины.

При дальнейшем уменьшении p_0 в некоторой области давления фиксируется квазистационарный режим распространения ДВ, который можно трактовать как аналог галоширующего для круглых труб. На рис. 2 приведены следовые отпечатки такого процесса: многофронговая волна, теряя скорость, превращается в предельную с одной ПВ и даже полностью срывается, затем в некоторой точке волна возбуждается вновь в виде пересжатой многофронговой детонации, и процесс повторяется. На рис. 2: многофронговая ДВ с мелкой ячейкой — А; В — ДВ, когда размер ячейки совпадает с шириной канала; С — граничный режим с единственной ПВ; Е — срыв детонации; А — восстановление многофронговой детонации и начало нового цикла. Особо отметим, что детонация восстанавливается вблизи границ канала. Качественно режим полностью соответствует галоширующему для круглых труб [4—8].

Используемая конструкция взрывной камеры с несколькими прямоугольными каналами с различным уровнем потерь позволяет получить в отдельном опыте большой объем информации о воздействии потерь на основные характеристики ДВ: среднюю скорость распространения D и размер элементарной ячейки a . Вопрос о взаимосвязи a и D приобретает особое значение при определении критической энергии инициирования, поскольку $E_{*v} \sim p_0 D_0^{\frac{v}{2}} b^v$ ($v = 1, 2, 3$ для плоского, цилиндрического и сферического случаев симметрии). При критическом режиме инициирования детонационная волна имеет значительный диапазон изменения скорости: пересжатая ($D > D_0$) — вблизи точки инициирования, постоянно ослабляющаяся — по мере распространения до $D_{\min} < D_0$ и квазистационарная — вдали от источника. Для ответа на вопрос о зарождении и гибели тройных конфигураций на расходящемся детонационном фронте необходима достоверная информация о зависимости $a(D)$ на стадиях пересжатия и $D < D_0$. Последнее относится не только к нестационарным процессам, но и к самоподдерживающимся режимам с заметным уровнем потерь, что характерно для окончательных условий.

Наиболее полные экспериментальные данные относительно a содержатся в [18—22]. К сожалению, в этих работах отсутствуют сведения о скорости самоподдерживающейся детонации \bar{D} в условиях

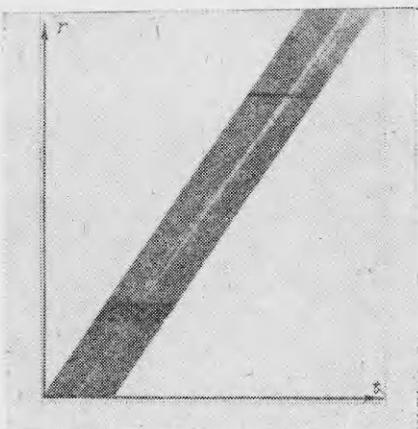


Рис. 3.

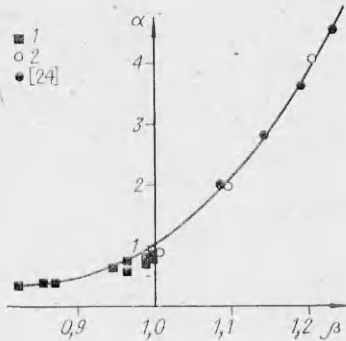


Рис. 4.

эксперимента и можно лишь предполагать, что эти результаты получены для самоподдерживающихся режимов вдали от пределов ($D/a \gg 1$), когда D практически совпадает с D_0 . Для пересжатых режимов ($1 < \beta < 1,25$) значения a приведены в [23], здесь β — степень пересжатия (по скорости). Пересжение достигалось при переходе детонации из трубы с $d = 80$ мм в трубу с $d = 12$ мм, состыкованных с помощью конического перехода. Угол конуса выбирался из условия $\operatorname{tg} \varphi = a/b \approx 0,6$, характерного для многофронтовой детонации. Установлено, что относительное уменьшение ячейки при увеличении пересжатия примерно одинаково для смесей $2\text{H}_2 + \text{O}_2$, $2\text{H}_2 + \text{O}_2 + 3\text{Ar}$, $\text{C}_2\text{H}_2 + 2,5\text{O}_2$, $\text{C}_2\text{H}_2 + \text{O}_2$. В [24] пересжение волны было осуществлено за маховской ножкой, возникающей при перегуляризации отражении ДВ от твердой стенки. Измерения a выполнены также в [25], где исследованы пестационарные волны при инициировании детонации.

Связь $a(D)$ для режимов с $D < D_0$ устанавливалась с помощью следовой методики (a_i — размер ячейки в каждом канале) и фоторазверток самосвещения, по которым определялись значения D_i (рис. 3). Канал 5×30 мм служил базовым для определения D и \bar{a} при условиях, далеких от предельных, ибо независимые измерения этих же параметров в трубе с $d = 40$ мм показали их идентичность при одноковых p_0 . Результаты экспериментов представлены на рис. 4, 1, точки 2, 3 соответствуют пересжатым режимам ($\alpha = \bar{a}/a_i$, $\beta = D_i/D$). Полученные данные можно аппроксимировать зависимостью $\alpha = \beta^{1/2}$. Следует отметить систематическое отклонение зависимости $\alpha(\beta)$ от монотонной в области $0,96 < \beta < 1,0$. Подобное поведение параметра T/τ_0 в этом же диапазоне скоростей отмечено в [26] ($T = b/D$, τ_0 — задержка воспламенения за плоской ударной волной, имеющей скорость D_0). Причины немонотонности пока не ясны. Возможно, что определенную роль играет высокая чувствительность потока при околозвуковых течениях.

По аналогии с соплом Лаваля поверхность Чепмена — Жуге в газовой ДВ играет роль критического сечения. Из аэродинамики известно [27], что небольшие изменения поперечного сечения в околозвуковом режиме заметно влияют на параметры потока. Возрастание потерь, даже незначительное, приводит к уменьшению эффективного критического сечения, что в свою очередь может вызвать заметное смещение поверхности Чепмена — Жуге и перестройку всего течения в ДВ.

Используя вывод [23] о том, что зависимость $\alpha(\beta)$ практически однотакова для различных смесей, можно объяснить различие экспериментальных размеров ячеек, например для стехиометрической смеси ацетилена с воздухом из [28] и [20]. В [28] $b = 18$ мм при $p_0 = 1$ атм и $\Delta D/D_0 \approx 5,6\%$; в [20] $b = 13,6$ мм при $D \approx D_0$. С учетом рис. 4 данные [28], пересчитанные на $D \approx D_0$ (как в [20]), дают $b = 12$ мм.

Таким образом, в настоящей работе экспериментально установлена связь размера ячейки со скоростью детонации при различных уровнях потерь. Эти данные необходимы для проверки теоретических моделей газовой детонации, учитывающих реальную многофронтовую структуру, а также при оценках, например, критической энергии инициирования.

Вблизи пределов самоподдерживающейся детонации в прямоугольных каналах обнаружен квазистационарный пульсирующий режим — аналог галопирующего режима детонации в круглых трубах. В прямоугольных каналах предельный режим распространения зависит от соотношения размеров канала: аналогичный спиновому в круглой трубе режим с единственной поперечной волной в прямоугольном канале может быть реализован лишь при $l/\delta \approx 2$, при $l/\delta > 2$ количество поперечных волн на пределе будет больше.

ЛИТЕРАТУРА

1. Ф. А. Баум и др. Физика взрыва/Под ред. К. П. Станюковича. М.: Наука, 1975.
2. К. И. Щелкин, Я. К. Трошин. Газодинамика горения. М.: Изд-во АН СССР, 1963.
3. Б. В. Войцеховский, В. В. Митрофанов, М. Е. Топчиян. Структура фронта детонации в газах. Новосибирск: РИО СО АН СССР, 1963.
4. A. J. Mooradian, W. E. Gordon. J. Chem. Phys., 1951, 19, 1166.
5. J. P. Saint-Cloud, C. Guerraud, G. Brochet e. a. Acta Astr., 1972, 17, 4/5, 487.
6. N. Manson, G. Brochet, J. Brossard e. a. IX-th Symp. (Internat.) on Combustion, 1963.
7. В. Ю. Ульяницкий. ФГВ, 1981, 17, 1, 118.
8. A. A. Vasiliev, V. Yu. Ulianitski. IX-th Internat. Colloq. on Gasdynamics of Expl. and Reactive Syst. Book of Abstr. USSR, 1981.
9. В. И. Манжалей, В. В. Митрофанов. ФГВ, 1973, 9, 5, 703.
10. В. Ю. Ульяницкий. ФГВ, 1980, 16, 1, 105.
11. D. N. Edzards, G. Hooper, R. J. Meddins. J. Phys. D: Appl. Phys., 1970, 3, 1130.
12. E. A. Lundstrom, A. K. Oppenheim. Proc. Roy. Soc. A, 1969, 310, 463.
13. D. H. Edzards, G. Hooper, E. M. Job e. a. Astr. Acta, 1970, 15, 5/6, 323.
14. R. A. Strehlow, A. J. Crooker. Acta Astr., 1974, 1, 3/4, 303.
15. J. C. Libouton, M. Dormal, P. J. Van Tiggelen. XV-th Symp. (Internat.) on Combustion, 1974.
16. А. А. Васильев. ФГВ, 1982, 18, 2, 132.
17. R. A. Strehlow, R. Liaugminas, R. H. Watson e. a. XI-th Symp. (Internat.) on Combustion, 1967.
18. R. A. Strehlow, C. D. Engel. AIAA J., 1969, 7, 3, 492.
19. В. И. Манжалей, В. В. Митрофанов, В. А. Субботин. ФГВ, 1974, 10, 1, 102.
20. D. C. Bull, I. E. Elsworth, P. J. Shuff. Comb. Flame, 1982, 45, 7.
21. R. Knystautas, C. Guirao, J. H. Lee e. a. IX Internat. Colloq. on Gasdynamics of Expl. and Reactive Syst. Book of Abstr. France, 1983.
22. J. H. Lee. Ann. Rev. Fluid Mech., 1984, 16, 311.
23. А. А. Васильев. Канд. дис. ИГ СО АН СССР, Новосибирск, 1977.
24. Т. П. Гавриленко, Е. С. Прохоров.— В кн.: Химическая физика процессов горения и взрыва. Детонация. Черноголовка, 1980.
25. А. В. Троцок, В. Ю. Ульяницкий. ФГВ, 1983, 19, 6, 76.
26. V. A. Subbotin. VII Internat. Colloq. on Gasdynamics of Expl. and Reactive Syst. Book of Abstr. FRG, 1979.
27. Г. И. Абрамович. Прикладная газовая динамика. М.: Наука, 1969.
28. А. А. Васильев, В. В. Григорьев. ФГВ, 1980, 16, 5, 117.

Поступила в редакцию 5/VI 1986

ОПРЕДЕЛЕНИЕ ЯРКОСТНЫХ ТЕМПЕРАТУР ПРИ ВЫХОДЕ УВ ИЗ ПОРОШКА НА ГРАНИЦУ С ПРОЗРАЧНОЙ ПРЕГРАДОЙ

А. И. Матыцин, С. Т. Попов

(Новосибирск)

Одна из важных особенностей поведения пористой среды (порошка) при ударном сжатии — неравномерный разогрев частиц по объему. В процессе уплотнения порошка во фронте ударной волны (УВ) поверхностные слои частиц деформируются интенсивнее внутренних, что